

## ФОТОСТИМУЛИРОВАННАЯ ДИФФУЗИЯ В КРЕМНИИ

*Л.Н.Зюзь, А.Е.Кив, О.Р.Ниязова, Ф.Т.Умарова*

В настоящее время известны экспериментальные результаты по фотостимулированному отжигу радиационных дефектов [1–3]. В данной статье описан эффект значительного ускорения диффузии золота в кремнии при интенсивной подсветке.

Исследование проводилось методом меченых атомов. Перед напылением на образец золото облучалось в реакторе ВВР-С в течение 25 часов потоком  $1,8 \cdot 10^{13} \text{ н/см}^2 \cdot \text{сек}$ . Образцы кремния *p*-типа (легирующая примесь – бор, удельное сопротивление  $10 \cdot \text{ом} \cdot \text{см}$ ) вырезались таким образом, что плоскость поверхности была перпендикулярна направлению  $<111>$ . Поверхность шлифовалась абразивами М-5, М-3, обрабатывалась полирующим травителем (СР-4) и промывалась четыреххlorистым углеродом. Напыление на поверхность золотой пленки производилось в вакууме  $10^{-5} \text{ тор}$  при  $T = 120^\circ\text{K}$ . Толщина образцов была  $\sim 300 \text{ мкм}$ , пленки  $0,1 - 0,3 \text{ мкм}$ .

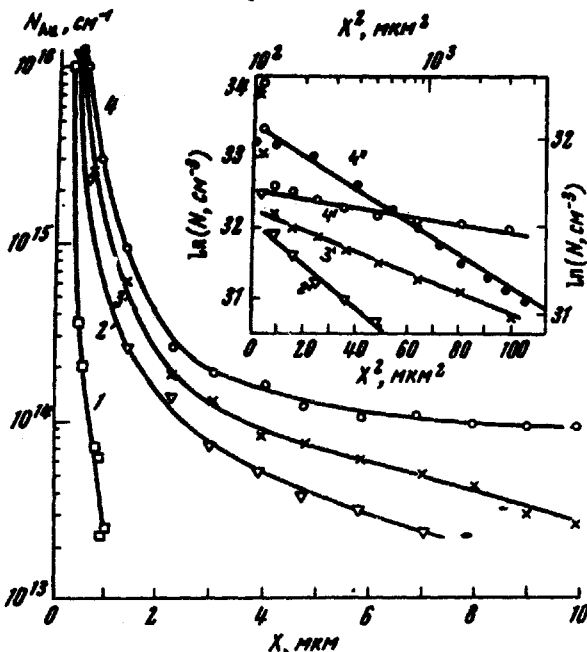
Образцы с напыленным радиоактивным золотом освещались лампой накаливания мощностью 340 вт. Поскольку освещение золотой пленки приводило бы к большим потерям светового потока в результате отражения [4], облучение проводилось с противоположной стороны. Во время облучения образцы охлаждались жидким азотом. Температура освещаемой поверхности не превышала  $120^\circ\text{K}$ .

Проводилось исследование двух серий образцов. Образцы первой серии с напыленным золотом освещались в течение 30 и 50 часов, образцы второй серии содержались при комнатной температуре без освещения.

После проведения диффузии производилось последовательное снятие слоев [5, 6] при помощи травителей  $40 \text{ HNO}_3 : 1 \text{ HF}$  и СР-4. Толщина снятого слоя определялась путем взвешивания образцов до и после очередного сеанса травле-

ния. Снимались слои толщиной 1,5 – 2 мкм. Погрешность в определении толщины слоя была не более 0,5 мкм.

Концентрация золота в снятом слое определялась путем измерения остаточной активности образца после травления. В качестве эталона использовался изотоп Au – 198 весом  $8 \cdot 10^{-11}$  г. Для предотвращения адсорбции золота в травителе поверхностью кремния образец после каждого сеанса травления тщательно промывался в царской водке. Одновременно для контроля проводилось послойное исследование необлученных образцов с напыленным золотом.



Профили распределения золота в кремнии: 1 – для контрольного образца, 2, 2' и 3, 3' – для образцов с введенным золотом при фотостимулированной диффузии (время экспозиции – 30 и 50 часов), 4, 4', 4'' – для образцов с введенным золотом при высокотемпературной диффузии ( $T = 1070^\circ$ ), кривая 4'' относится к правой оси ординат и верхней оси абсцисс

В контрольных образцах золото не проникало в толщу кристаллов глубже, чем на 1 – 1,5 мкм. В облученных образцах за время экспозиции наблюдалось проникновение золота в кристаллы кремния до 10 мкм. Для сравнения были проведены также опыты по высокотемпературной диффузии золота в аналогичных образцах кремния при  $T = 1070^\circ\text{K}$ . Соответствующие результаты приведены на рисунке. На основании этих результатов для эффективного коэффициента фотостимулированной диффузии получено значение  $\sim 10^{-12} \text{ см}^2/\text{сек}$ , в случае высокотемпературной диффузии зависимость  $\ln C$  от  $x^2$  (см. рисунок) характеризуется изломом (аналогичным описанному в работе [7]), в результате чего на глубине до 10 мкм для коэффициента диффузии получается значение  $\sim 10^{-10} \text{ см}^2/\text{сек}$ , а в более глубоких слоях –  $10^{-9} \text{ см}^2/\text{сек}$ .

Упомянутые выше результаты по фотостимулированному отжигу радиационных дефектов в работах [1–3] объясняются перезарядкой дифундирующих центров. Однако, они могут быть объяснены и при помощи других моделей. Ускорение

миграции дефектов может быть связано с локальным выделением тепла при безызлучательных переходах, с изменением положения уровня Ферми [8].

В наших экспериментах впервые наблюдалась фотостимулированная гетеродиффузия. Гипотеза перезарядки в нашем случае вряд ли является приемлемой. Если атомы золота в кремнии в ионизованном состоянии, захват электрона не должен заметно влиять на скорость диффузии, поскольку время нахождения золота в нейтральном состоянии будет намного меньше времени диффузионного перескока. В случае обратного перехода нейтрального атома золота в положительно заряженный произойдет возрастание кулоновской части потенциального барьера. Оценки показывают, что в наших опытах концентрация фотоносителей меньше концентрации темновых носителей, в связи с чем заполнение уровней должно определяться "темновым" уровнем Ферми [9].

Учитывая величину энергии активации диффузии золота в кремнии, можно прийти к заключению, что для преодоления потенциального барьера одновременно с выделением тепла при безызлучательном переходе должна произойти значительная тепловая флуктуация, вероятность которой мала при температуре эксперимента.

По сравнению с перечисленными более вероятной представляется модель фотостимулированной диффузии, согласно которой возбуждение химических связей в окрестности седловой точки приводит к снижению потенциального барьера [10]. Представим перескок атома золота из равновесного междуузлия с координатами  $(1/2, 1/2, 1/2)$  в соседнее с координатами  $(3/4, 3/4, 3/4)$ . Если смотреть на дифундирующий атом в седловой точке вдоль направления  $\langle 111 \rangle$ , можно заметить, что преодоление потенциального барьера связано с прохождением деформированного гексагонального кольца. Значительная часть энергии обусловлена необходимостью преодоления геометрического барьера – растяжения гексагонального кольца при прохождении атомом седловой точки. Локализация электронных возбуждений в окрестности седловой точки может привести к значительному расширению или разрыву гексагонального кольца [11], что означает, в частности, уменьшение геометрического барьера.

Описанные эффекты "холодной" фотостимулированной диффузии примесей в полупроводниках могут явиться основой для разработки новых методов легирования, которые найдут важные применения на практике.

Институт ядерной физики  
Академии наук Узбекской ССР

Поступила в редакцию  
15 июля 1970 г.

### Литература

- [1] G.W.Mac Kay, E.E.Klontz. Rad. Effects in Semicond. (Proc. Santa Fe Conf., 1967), N-Y., 1968.
- [2] J.Zizine, G.Arimura (Santa Fe Conf., 1967), N-Y., 1968.
- [3] H.J.Stein. J.Appl. Phys., 37, 9, 3382, 1966.
- [4] М.М.Гуревич. Введение в фотометрию, Л., Изд. Энергия 1968, стр. 83.
- [5] А.И.Койфман, О.Р.Ниязова. ФТП, 3, 9, 1405, 1969.
- [6] K.Gamo, A.Do, K.Masuda, S.Namba. Japan. J. Appl. Phys., 9, 333, 1970.
- [7] М.К.Бахадырханов, Б.И.Болтакс. ФТП, 4, 5, 873, 1970.

- [ 8] Б.И.Болтакс, Г.С.Куликов, Р.Ш.Малкович. ФТГ, 2, 2, 181, 1960.
  - [ 9] А.Роуз. Основы теории фотопроводимости, М., Изд. Мир, 1966.
  - [ 10] А.Е.Кив, Ф.Т.Умарова. ФТП, 4, 3, 1970.
  - [ 11] А.Е.Кив, Ф.Т.Умарова, З.И.Искандерова. ФТП, 4, 9, 1970.
-